

Інформаційні джерела

1. Автоматизированное проектирование оптимальных наладок металлорежущих станков / А.М. Гильман, Г.В. Гостев, Ю.В. Егоров, Ю.В. Ясаков. – М.: Машиностроение, 1984. – 168 с.
2. Темчин Г.И. Многоинструментальные наладки / Теория и расчет. – М.: Машиностроение, 1978. – 309с.
3. Денисюк В.Ю. Методика формування структури технологічної операції та інструментального налагодження для багатошпіндельних токарних автоматів // “Перспективні технології та прилади”. Збірник наукових праць. Випуск №2. м. Луцьк, жовтень 2012 р. – Луцьк: Луцький НТУ, 2012. – С. 59–56.

УДК 621.548

Д.А. Дмитриев<sup>1</sup>, д.т.н., П.П. Ремизов<sup>2</sup>, С.А. Русанов<sup>1</sup>, к.т.н., А.А. Лобов<sup>1</sup>, к.т.н.

Херсонский национальный технический университет<sup>1</sup>

Научно-производственное предприятие «РЕМИЗЛАБ»<sup>2</sup>

**ПРОГНОЗИРУЕМАЯ МОЩНОСТЬ ВЕТРОЭНЕРГЕТИЧЕСКОЙ УСТАНОВКИ «КАСКАД-3»**

*Проверена работоспособность малой ветровой энергетической установки с вертикальным расположением турбин. Рассчитаны аэродинамические параметры потоков воздуха как динамические поля скоростей, давлений, изменяющихся во времени и в зависимости от входных условий ветровой нагрузки. Получены графики во времени вероятных значений крутящих моментов на осях турбин энергоустановки. Проведен структурный и параметрический анализ геометрических характеристик тканевого конфузора в зависимости от изменений скорости ветра на входе в установку.*

**Ключевые слова:** конфузор, набегающий поток ветра, моделирование, поле давлений, мощность, крутящий момент.

*Перевірено працездатність малої вітрової енергетичної установки з вертикальним розташуванням турбін. Розраховано аеродинамічні параметри потоків повітря як динамічні поля швидкостей, тисків, що змінюються в часі й залежно від входних умов вітрового навантаження. Отримано графіки у часі ймовірних значень крутних моментів на осях турбін енергоустановки. Проведено структурний і параметричний аналіз геометричних характеристик тканевого конфузору залежно від змін швидкості вітру на вході в установку.*

**Ключові слова:** конфузор, потік вітру, моделювання, поле тисків, потужність, крутний момент.

*The capacity of small wind power plant is tested with the vertical location of turbines. The aerodynamic parameters of blasts as dynamic fields of speeds, pressures time-varying and depending on the entrance terms of the wind loading are expected. Charts are got in time of credible values of twisting moments on the axes of turbines of энергоустановки. The structural and self-reactance analysis of geometrical descriptions of tissue contractor is conducted depending on the changes of speed of wind on included in setting.*

**Keywords:** contractor, appearing suddenly stream of wind, design, field of pressures, power, twisting moment.

**Постановка проблемы.** Ветроэнергетика в развитых странах играет значительную роль как часть энергетических систем, при этом в некоторых странах она является одной из главных составляющих альтернативной энергетики [1]. Известно [2], что одним из наибольших препятствий для использования ветроэнергетических установок (ВЭУ) является их высокая стоимость. Широкий спектр типов ВЭУ предполагает значительные расходы еще на проектных этапах, а в удельных показателях это особенно заметно для малых ВЭУ, где отношение к стоимости изготовления опытных образцов будет значительным. Стоимость проектных работ можно снизить за счет использования численных расчетов в системах, как целевым образом предназначенных для расчетов ВЭУ [3], так и в универсальных CFD программах, таких как ANSYS CFX, ANSYS Fluent, Autodesk Simulation CFD, Comsol Multiphysics и др.

Далее представлены результаты применения подобных расчетов в рамках научно-исследовательской работы проведенной на кафедре «Основы конструирования» Херсонского национального технического университета (тема ГР № 2/2014 договор от 16.06.14г.) - "Розрахунок

## ПЕРСПЕКТИВНІ ТЕХНОЛОГІЇ ТА ПРИЛАДИ

очікуваних показників потужності оригінальної повітряної енергоустановки каркасного типу "КАСКАД-3" с теоретическими расчетами по компоновке и размерам, представленными заказчиком фирмой Юг-тент (г. Херсон) и разработчиком концепции Ремизовым П.П.[5].

**Аналіз предыдущих исследований.** Согласно [1] максимальный (теоретический) коэффициент использования энергии ветра при работе поверхности как силы сопротивления не может быть больше  $\xi_{\max} = 0,192$ . При этом оптимальной скоростью поверхности является  $v_{\text{нос}} = v_e / 3$ , где  $v_e$  - скорость ветра. Таким образом, при набегании потока на лопасть с некоторой скоростью  $v_n$  (она может отличаться от скорости ветра на удалении от установки) и движении лопасти с окружной скоростью  $v_n^t = v_n / 3$ , получим предельную мощность (в соответствии с [1])

$$N = C_x F \frac{\rho}{2} (v_n - v_n^t)^2 v_n^t = C_x F \frac{\rho}{9} v_n^3,$$

где коэффициент лобового сопротивления, для поверхностей, поставленных перпендикулярно потоку, равен  $C_x = 1,3$ ,  $F = 2,5 \cdot 0,5 = 1,25$  – площадь поверхности лопасти. Тогда

$$N = 1,3 \cdot 1,25 \frac{1,2}{9} v_n^3 = 0,22 v_n^3,$$

что в пределах скоростей потока от 0 до 20 м/с даст возможные мощности (рис.1).

Известно разделение гидродинамических задач на внешнюю, внутреннюю и смешанную [3], при этом смешанная задача понимается как движение жидкости или газа внутри каналов сложной формы с одновременным обтеканием тел. Смешанная задача обычно рассматривается применительно к движению жидкости через, например, зернистый слой твердого материала, когда она перемещается как внутри каналов между частицами, так и одновременно обтекает твердые частицы – эти условия наблюдаются в процессах фильтрования, массопередачи в аппаратах с насадками и т. д. Однако условия для смешанной задачи наблюдается и в области альтернативной энергетики при работе погружных свободнопоточных осевых лопастных турбин для малых и микро ГЭС [5], при работе ветроэнергетических установок (ВЭУ) с воздуховодными устройствами (диффузорными, конфузорными, комбинированными) [1]. В таких устройствах основной поток разделяется на две составляющие – внутреннюю, проходящую непосредственно через установку, и внешнюю, огибающую ее. Единой методики расчета подобных устройств не существует, что обусловлено не только сложностью задачи, но и широким перечнем оборудования, которое соответствует указанной области.

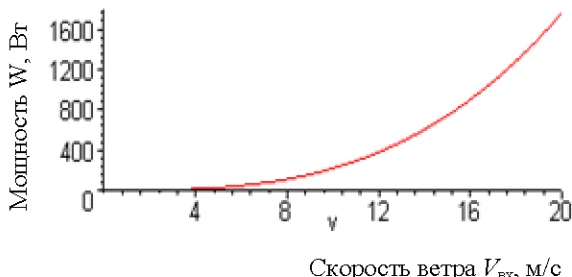


Рис.1. Теоретически возможная мощность при скорости ветра на лопатке согласно [1]

Представляет интерес смешанная задача, которая возникает при работе ветроэнергетической установки с воздуховодным конфузорным устройством (расчеты по договору ГР №02/14 от 16.06.14 по компоновке [4]). Основной проблемой при проектировании подобных устройств является выбор правильной геометрии воздуховодных устройств. Как указывается в [1, 2], использование воздуховодных устройств потенциально может привести к увеличению скорости в 1,5...1,8 раз с одновременным увеличением перепада давлений на ветроколесе и ростом коэффициента использования энергии ветра, что может позволить эксплуатировать ВЭУ в регионах с пониженными среднегодовыми значениями скорости ветра.

**Цель исследований** - теоретическое определение в числовом виде основных прогнозируемых технических показателей воздушной энергоустановки по предложенной концепции заказчика.

- построение параметрической модели действующих на конструкцию динамических сил и моментов;
- нахождение параметрических связей согласно реальным размерам конструкции энергоустановки;
- разработка прикладной методики оценки мощности воздушной энергоустановки;
- моделирование влияния рабочих давленний и входных скоростей ветра на мощность энергоустановки;
- расчет действующих моментов и усилий, которые обеспечивает энергоустановка.

## ПЕРСПЕКТИВНІ ТЕХНОЛОГІЇ ТА ПРИЛАДИ

- оформление протоколов моделирования с описанием законов аэродинамики во время работы энергоустановки;
  - поиск способов структурной перестройки поверхностей конфузора для повышения ожидаемой мощности.

Ветроустановка представляла собой каркасную конструкцию вертикально-осевого типа с конфузорным воздуховодным устройством рис.2 (разработчик Ремизов П.П. [4]).

В работе использовалась расчетная методика, разработанная в работе [5], при этом общая задача была разбита на несколько этапов: упрощенная 2D модель, использованная для получения начальных базовых данных по работе ВЭУ, 2D модель со свободным пространством вокруг ВЭУ, полная 3D модель ВЭУ. Расчетная область для последних двух случаев состояла из 3 подобластей: свободного пространства вокруг ВЭУ, внутреннего стационарного пространства ВЭУ и круговой области, охватывающей лопатки, для задания врачающегося расчетного домена. Дополнительными расчетами была также произведена оценка аэродинамического сопротивления корпуса ВЭУ с конфузором без учета врачающегося домена. Расчетная сетка для полной 3D модели ВЭУ насчитывала более 3 млн. ячеек, сеточная независимость была проверена путем выполнения расчетов для одного из режимов на более густой и более разряженной сетках. Использовалась стандартная для таких случаев  $k-\epsilon$  модель турбулентности с масштабируемыми пристеночными функциями. Границные условия учитывали специфику задачи: на входе в расчетную область задавалась средняя скорость набегающего воздушного потока, задавались также условия симметрии для центральной части, выход в атмосферу. На стенах задавалось граничное условие No Slip Wall.

Согласно Рис.1 для достижения максимальной мощности ВЭУ не необходимо увеличить скорость потока на лопатке за счет захвата воздушного потока фронтальной частью конфузора и усиления скорости в местах расположения турбин на участке А-В (рис. 3, 4).

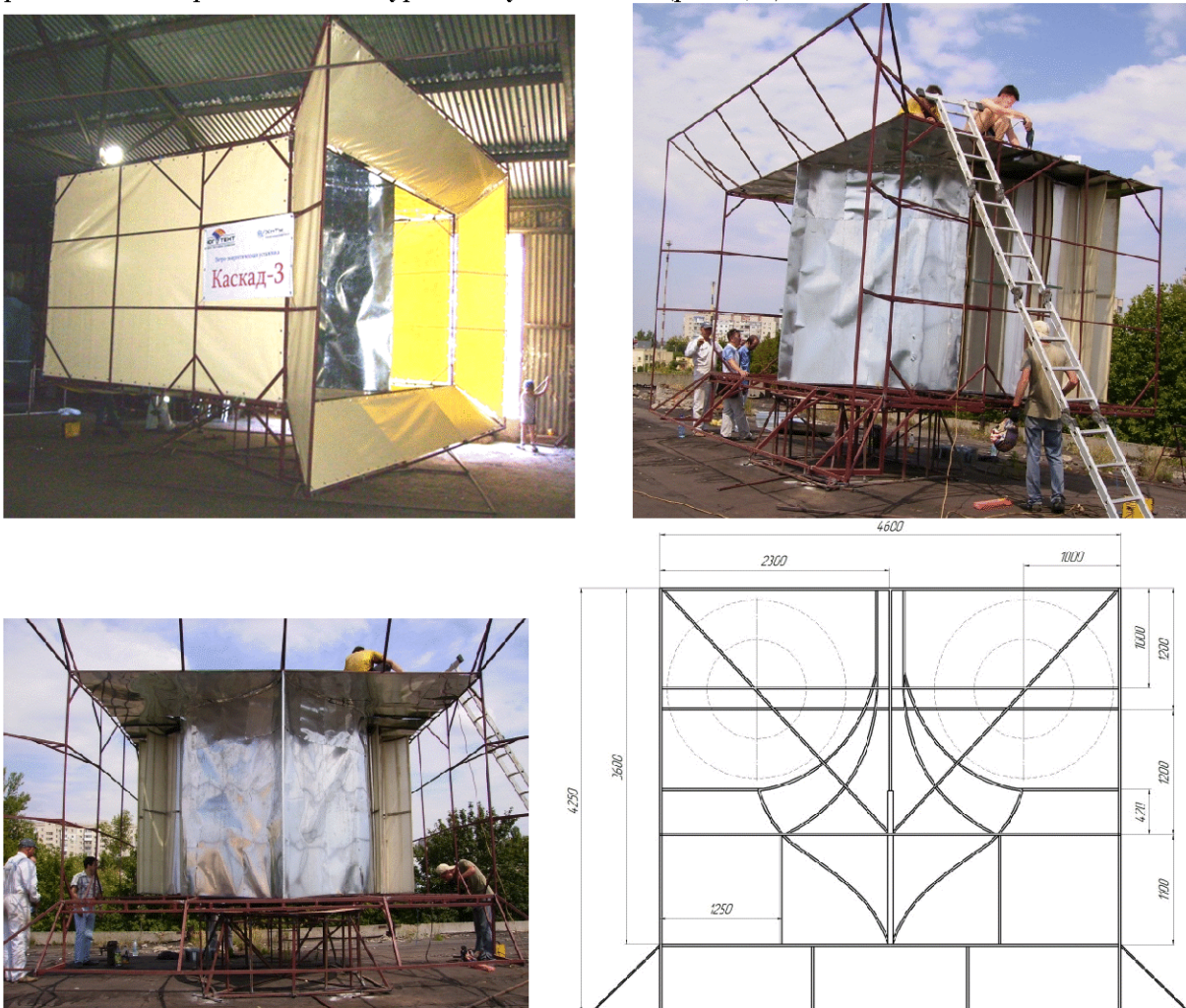


Рис.2. Общий вид и компоновка, изготовленной ВЭУ "КАСКАД-3"

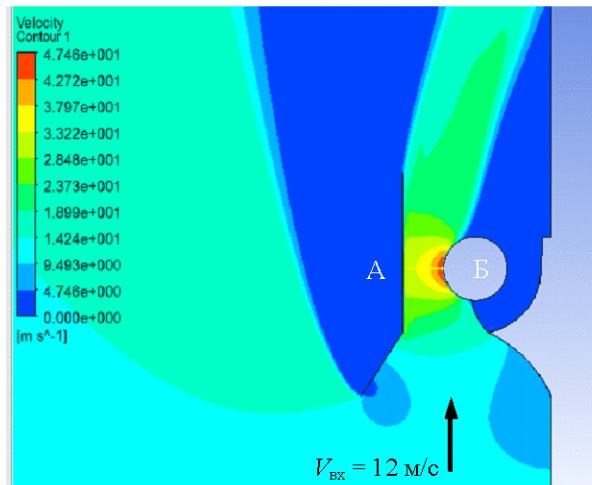


Рис.3. Поле скоростей воздушного потока «идеальной» модели - конфузор без лопаток на турбине, на входе 12 м/с

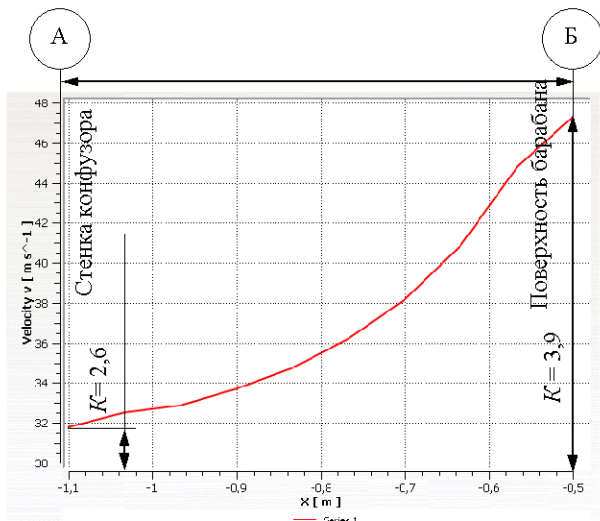


Рис.4. Эпюор скоростей на линии А-Б (просвет), по рис.8 ( $K$ - коэффициент усиления скорости)

В соответствии с расчетной методикой [5] первоначальный расчет проводился для нулевой угловой скорости ротора (принудительное заклинивание ротора), с целью определения максимальных моментов, действующих на ось ротора. Расчет показал значительную чувствительность решения к текущему углу поворота ротора барабана (рис. 5), отрицательные значения момента соответствуют необходимому направлению вращения), что характерно для вертикально-осевых ветроустановок.

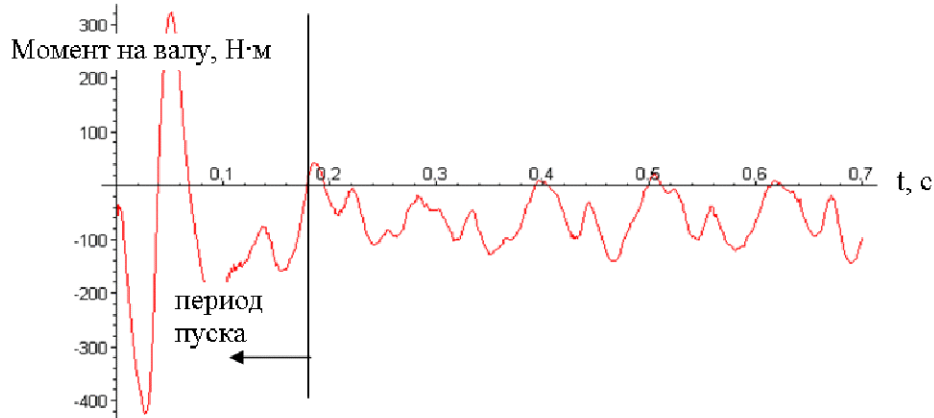


Рис. 5. Результаты расчета крутящего момента на оси турбины

Дальнейшие расчеты проводились для различных скоростей равномерного вращения барабана. Расчеты велись в нестационарной постановке с получением анимации полей скоростей и давлений в ВЭУ. Аппроксимируя полученные средние моменты, определяли возможные для снятия с одного барабана мощности (характеристика установки) – рис.6.

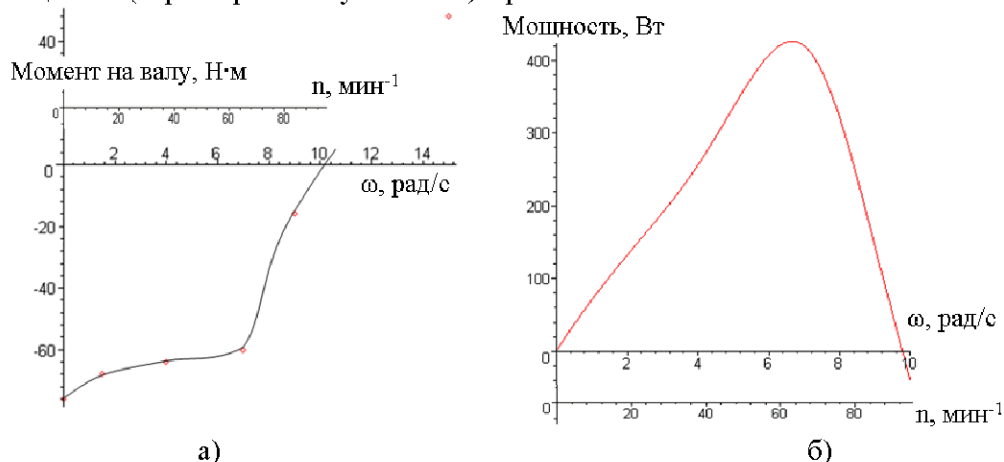


Рис. 6. Итоговые графики ожидаемых момента (а) и мощности (б) ВЭУ «КАСКАД-3» при минимальной скорости ветра на входе в конфузор 5 м/с

Однако у подобних конструкцій є недостатки: виникнення отривов потока (зниження ефективності), збільшення осевого усилля на конструкцію, усложнення ВЭУ, при цьому відомі різні методи покращення конструкцій ВЭУ з повітроводними пристроями, наприклад – використання зовнішніх щелей в стінках дифузорів [1]. Моделювання роботи подібних пристрояв дозволяє оцінити ступінь підвищення ефективності роботи ВЭУ від використання повітроводних пристрій. На рис. 7 показана двумерна модель течения в ВЭУ «КАСКАД-3» з графіками профілю швидкості потока на вході в апарат і виравнювання її середнього значення в часі (ВЭУ представлена тільки одним ветроколесом з заданим симетричними граничними умовами).

Картина течения являється достатньо складною, з формуванням великошвидкісних вихрів за конфузором з повітроводом. Графік показує, що середня швидкість встановлюється на рівні 3 м/с (при швидкості вітру 12 м/с) з піковим значенням 4 м/с. Указана стрілками також зона викидання потока з конфузора. Як видно з конфігурації потока, об'єм повітря попадаючий в установку відповідає просвіту «коридора» між барабаном та лопастями до стінок.

Необхідно підкреслити, що робота конфузора в відкритому потоці принципіально відрізняється від аналогічних сужень каналів для внутрішньої задачі (наприклад, течія в трубах Вентури), т.к. у середовищі є можливість обойти гідродинамічне перешкодження, яким є ВЭУ. Були проведено серії числових розрахунків, які показують деяке збільшення швидкості потока в просвіті. ВЭУ для даної 3D задачі (в зв'язку з симетрією моделювалася  $\frac{1}{4}$  частини), при цьому для обнаруження принципової можливості підвищення швидкості потока розрахунки проводилися без урахування лопаток. Для діапазону швидкостей набегаючого потока від 5 до 12 м/с швидкість в просвіті збільшувалася приблизно в 1,8 раз, що відповідає даним [1], де, як вже вказувалось, очікуване підвищення швидкості становить 1,5...1,8 раз. Однак після наступного моделювання (з ветроколесом та лопатками в окремому обертаному домені) встановлено значительне вплив лопаток та моментного кута обертання турбіни на розподілення полів швидкості та тиску в зоні конфузора.

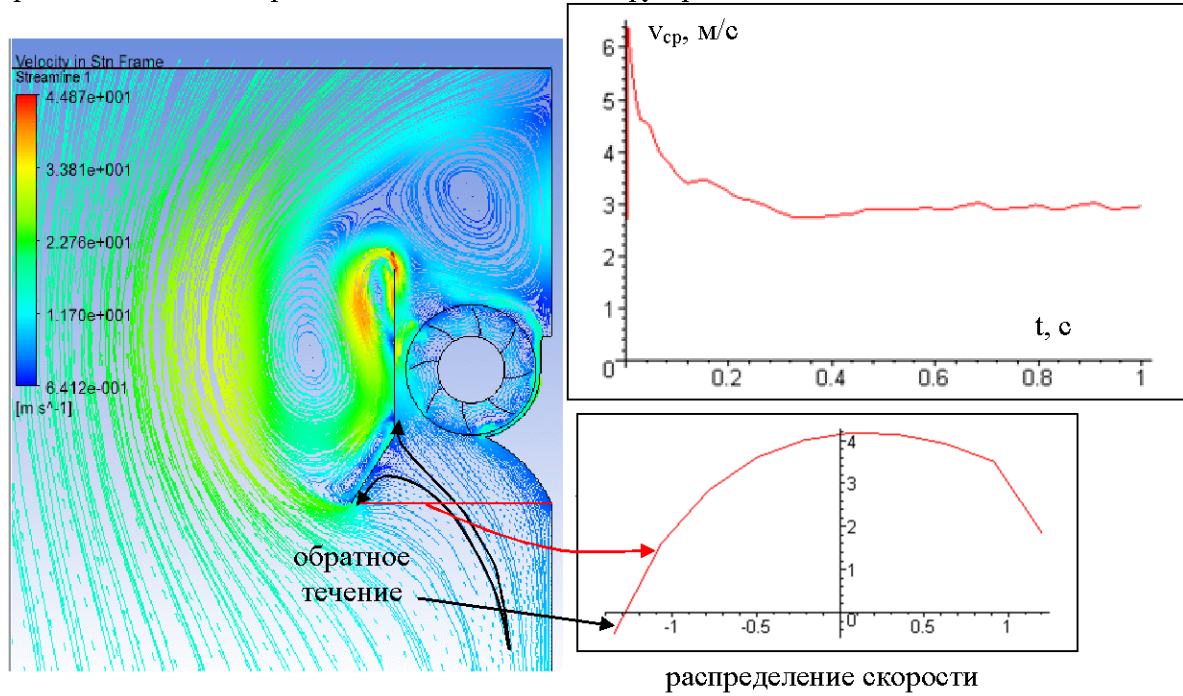


Рис. 7. Двумерна модель течения в ВЭУ «КАСКАД-3»

Розрахунок повної 3D моделі для смішаної задачі (рис. 8) дозволив визначити розподілення швидкостей та тиску в усіх областях, та порівняти з натуральними даними вимірювання швидкості повітря чашечними анемометрами моделей МС-13 ГОСТ 6376-74 та АРИ-49 ГОСТ 7193-74 при роботі прототипа.

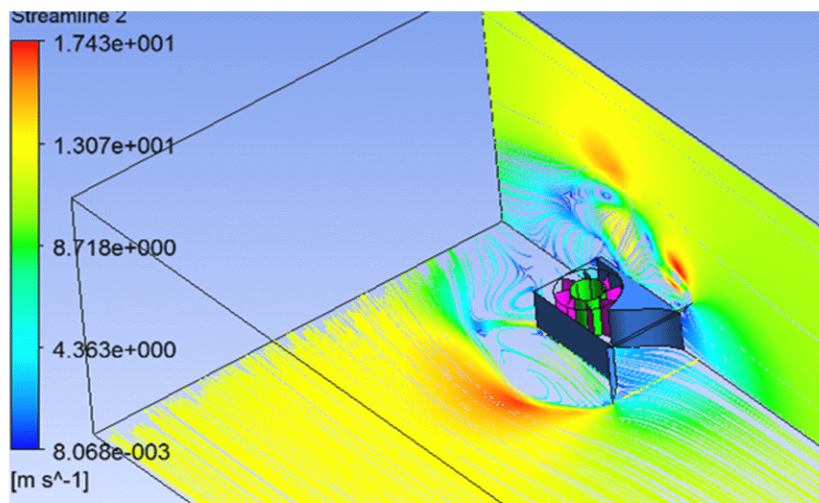


Рис. 8. Результаты решения смешанной задачи обтекания ветровым потоком 3D модели ВЭУ

Проведенные натурные экспериментальные исследования распределения скоростей подтвердили расчетные данные по обтеканию ВЭУ.

На основании проведенных расчетных исследований были выработаны предложения по обеспечению максимальной мощности ВЭУ "Каскад-3" данной компоновки, среди которых: для уменьшения аэродинамического сопротивления ВЭУ на входе в конфузор необходимо предусмотреть открытые боковые зоны на уровне осей турбин и возможность выхода воздуха из застойных зон лопаток за тыльной частью рассекателя; возможно снижение негативного влияния отрыва вихрей за лопатками ВЭУ на распределение давления во внутренней зоне конфузора за счет уменьшения количества лопаток совместно с увеличением их ширины (уменьшение диаметра барабана турбины) без потерь мощности ВЭУ "Каскад-3"; изменение (уменьшение) угла раскрытия конфузора для сдвига точки расслоения набегающего потока во внутреннюю часть ВЭУ.

#### Інформаційні джерела

- Янсон Р.А. Ветроустановки: Учеб. пособие / Под редакцией М.И. Осипова. – М.: Изд-во МГТУ им. Баумана, 2007. – 36 с.
- Рензо Д, Зубарев В.В. Ветроэнергетика. – Москва. :Энергоатомиздат, 1982. – 271 с.
- Приходько А.А., Редчиц Д.А. Компьютерное моделирование аэродинамики подвижных роторов ветроагрегатов Дарье и Савониус // Аэрогидродинамика: проблемы и перспективы. – 2006. – Т. 2. – С. 120-142.
- Пат. № 91379 Україна, МПК F03B 13/10. Енергетичний пристрій «КАСКАД-3»/ Ремізов П.П. - № а2013 11898; Заявлено 09.10.2013; Надрук. 10.07.2014; Бюл. №13/
- Ремізов П. П. Моделювання роботи турбіни гідродинаміческого устройства "Каскад-М" / П. П. Ремізов, С. А. Русанов, Д. А. Дмитриев // Вост.-Европ. журн. передовых технологий. - 2012. - № 2/8. - С. 64-67.
- Фатеев Е.М. – Ветродвигатели и ветроустановки – Москва, 1948.

УДК 621.822

А.А. Ткачук, к.т.н., Т.В. Дуляницька  
Луцький національний технічний університет

## ДОСЛДЖЕННЯ МОЖЛИВОСТЕЙ ФОРСУВАННЯ ВИПРОБУВАНЬ ПІДШИПНИКІВ НА ДОВГОВІЧНІСТЬ

*В статті розглянуто методику форсування випробувань підшипників на довговічність, що ґрунтуються на застосуванні математичного апарату Вейбулла. Наведено результати стендових випробувань підшипників.*

**Ключові слова:** підшипник, довговічність, етома металу, форсування випробувань.

*В статье рассмотрена методика форсирования испытаний подшипников на долговечность, которая основывается на применении математического аппарата Вейбулла. Приведены результаты стендовых испытаний подшипников.*

**Ключевые слова:** подшипник, долговечность, усталость металла, форсирование испытаний.